

15 Problema estimării spectrale

- Se evaluează **dispersia** densității spectrale de putere estimate.



Se va evalua **funcția de autocovarianță** a densității spectrale de putere estimate, în vederea utilizării acestui rezultat general și în alte evaluări.



$$E\{\hat{\Phi}_x(\omega)\hat{\Phi}_x(\mu)\} = E\left\{\sum_{k \in \mathbb{Z}} \sum_{p \in \mathbb{Z}} \hat{r}_x[k] \hat{r}_x[p] e^{-j(\omega k + \mu p)}\right\} = \sum_{k \in \mathbb{Z}} \sum_{p \in \mathbb{Z}} E\{\hat{r}_x[k] \hat{r}_x[p]\} e^{-j(\omega k + \mu p)}$$

$\forall \omega, \mu \in \mathbb{R}$



Statistică

$$E\{v_1 v_2 v_3 v_4\} = E\{v_1 v_2\} E\{v_3 v_4\} + E\{v_1 v_3\} E\{v_2 v_4\} + E\{v_1 v_4\} E\{v_2 v_3\}$$

(media produsului a 4 variabile aleatoare)

$$\begin{aligned} E\{\hat{r}_x[k] \hat{r}_x[p]\} &= \frac{1}{N^2} E\left\{\sum_{n=0}^{N-1} \sum_{m=0}^{N-1} x[n] x[n-k] x[m] x[m-p]\right\} = \frac{1}{N^2} \sum_{n=0}^{N-1} \sum_{m=0}^{N-1} E\{x[n] x[n-k] x[m] x[m-p]\} = \\ \text{autocovarianța} & \\ \text{autocovarianței} & \\ \text{estimate} &= \frac{1}{N^2} \sum_{n=0}^{N-1} \sum_{m=0}^{N-1} \underbrace{E\{x[n] x[n-k]\}}_{r_x[k]} \underbrace{E\{x[m] x[m-p]\}}_{r_x[p]} + \frac{1}{N^2} \sum_{n=0}^{N-1} \sum_{m=0}^{N-1} \underbrace{E\{x[n] x[m]\}}_{r_x[n-m]} \underbrace{E\{x[n-k] x[m-p]\}}_{r_x[n-m-k+p]} \\ &+ \frac{1}{N^2} \sum_{n=0}^{N-1} \sum_{m=0}^{N-1} \underbrace{E\{x[n] x[m-p]\}}_{r_x[n-m+p]} \underbrace{E\{x[m] x[n-k]\}}_{r_x[m-n+k]} = \\ &= \frac{1}{N^2} \sum_{n=0}^{N-1} \sum_{m=0}^{N-1} r_x[k] r_x[p] + \frac{1}{N^2} \sum_{n=0}^{N-1} \sum_{m=0}^{N-1} r_x[n-m+k] r_x[n-m+p] + \\ &+ \frac{1}{N^2} \sum_{n=0}^{N-1} \sum_{m=0}^{N-1} r_x[n-m+p] r_x[n-m-k] , \quad \forall k, p \in \mathbb{Z}. \end{aligned}$$

rearanjare de termeni

simetrie

①⑤ Problema estimării spectrale



- Continuă evaluarea **autocovarianței** densității spectrale de putere estimate.

autocovarianța autocovarianței estimate

$$E\{\hat{r}_x[k]\hat{r}_x[p]\} = \frac{1}{N^2} \sum_{n=0}^{N-1} \sum_{m=0}^{N-1} r_x[k]r_x[p] + \frac{1}{N^2} \sum_{n=0}^{N-1} \sum_{m=0}^{N-1} r_x[n-m+k]r_x[n-m+p] +$$

schimbare de indice
 $l = n - m \in 1 - N, N - 1$

Pentru l constant, în cele două sume există $(N - |l|)$ termeni identici.

$$+ \frac{1}{N^2} \sum_{n=0}^{N-1} \sum_{m=0}^{N-1} r_x[n-m+p]r_x[n-m-k] =$$

$$= r_x[k]r_x[p] + \frac{1}{N} \sum_{l=1-N}^{N-1} \left(1 - \frac{|l|}{N}\right) r_x[l+k]r_x[l+p] + \frac{1}{N} \sum_{l=1-N}^{N-1} \left(1 - \frac{|l|}{N}\right) r_x[l-k]r_x[l+p],$$

$\forall k, p \in \mathbb{Z}.$

Triangular (Bartlett)

$w_{\Delta,N}[l]$

Așadar

$$E\{\hat{r}_x[k]\hat{r}_x[p]\} = r_x[k]r_x[p] + \frac{1}{N} \sum_{l=1-N}^{N-1} w_{\Delta,N}[l] r_x[l+k]r_x[l+p] + \frac{1}{N} \sum_{l=1-N}^{N-1} w_{\Delta,N}[l] r_x[l-k]r_x[l+p]$$

$\forall k, p \in \mathbb{Z}$

autocovarianța psd estimate

$$E\{\hat{\Phi}_x(\omega)\hat{\Phi}_x(\mu)\} = \sum_{k \in \mathbb{Z}} \sum_{p \in \mathbb{Z}} E\{\hat{r}_x[k]\hat{r}_x[p]\} e^{-j(\omega k + \mu p)} = \sum_{k \in \mathbb{Z}} \sum_{p \in \mathbb{Z}} r_x[k]r_x[p] e^{-j(\omega k + \mu p)} +$$

schimbări de indici

$l + k = n \Leftrightarrow k = n - l$

$l + p = m \Leftrightarrow p = m - l$

$l - k = n \Leftrightarrow k = l - n$

$$+ \frac{1}{N} \sum_{l=1-N}^{N-1} w_{\Delta,N}[l] \sum_{k \in \mathbb{Z}} \sum_{p \in \mathbb{Z}} r_x[l+k]r_x[l+p] e^{-j(\omega k + \mu p)} +$$

$$+ \frac{1}{N} \sum_{l=1-N}^{N-1} w_{\Delta,N}[l] \sum_{k \in \mathbb{Z}} \sum_{p \in \mathbb{Z}} r_x[l-k]r_x[l+p] e^{-j(\omega k + \mu p)}, \quad \forall \omega, \mu \in \mathbb{R}.$$

$\Phi_x(\omega)\Phi_x(\mu)$

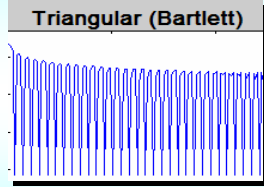
15 Problema estimării spectrale



- Continuă evaluarea **autocovarianței** densității spectrale de putere estimate.

$$\begin{aligned}
 E\{\hat{\Phi}_x(\omega)\hat{\Phi}_x(\mu)\} &= \underbrace{\Phi_x(\omega)\Phi_x(\mu)}_{\text{autocovarianța psd estimate}} + \frac{1}{N} \sum_{l=1-N}^{N-1} \underbrace{w_{\Delta,N}[l]e^{+jl(\omega+\mu)}}_{\mathcal{W}_{\Delta,N}(e^{-j(\omega+\mu)})} \underbrace{\sum_{n \in \mathbb{Z}} r_x[n]e^{-j\omega n}}_{\Phi_x(-\omega) = \Phi_x(\omega)} \underbrace{\sum_{m \in \mathbb{Z}} r_x[m]e^{-j\mu m}}_{\Phi_x(\mu)} + \\
 &\quad + \frac{1}{N} \sum_{l=1-N}^{N-1} \underbrace{w_{\Delta,N}[l]e^{-jl(\omega-\mu)}}_{\mathcal{W}_{\Delta,N}(e^{j(\omega-\mu)})} \underbrace{\sum_{n \in \mathbb{Z}} r_x[n]e^{+j\omega n}}_{\Phi_x(\omega)} \underbrace{\sum_{m \in \mathbb{Z}} r_x[m]e^{-j\mu m}}_{\Phi_x(\mu)} = \\
 &= \Phi_x(\omega)\Phi_x(\mu) + \frac{1}{N} \mathcal{W}_{\Delta,N}(e^{-j(\omega+\mu)}) \Phi_x(\omega)\Phi_x(\mu) + \frac{1}{N} \mathcal{W}_{\Delta,N}(e^{j(\omega-\mu)}) \Phi_x(\omega)\Phi_x(\mu),
 \end{aligned}$$

$\forall \omega, \mu \in \mathbb{R}.$



$$\mathcal{W}_{\Delta,N}(e^{j\omega}) = \frac{\sin^2 \frac{N\omega}{2}}{N \sin^2 \frac{\omega}{2}}$$

$$E\{\hat{\Phi}_x(\omega)\hat{\Phi}_x(\mu)\} = \Phi_x(\omega)\Phi_x(\mu) \left[1 + \left(\frac{\sin \frac{N(\omega+\mu)}{2}}{N \sin \frac{\omega+\mu}{2}} \right)^2 + \left(\frac{\sin \frac{N(\omega-\mu)}{2}}{N \sin \frac{\omega-\mu}{2}} \right)^2 \right]$$

$\forall \omega, \mu \in \mathbb{R}$

- Se evaluează **dispersia** densității spectrale de putere estimate.

$$E\{\hat{\Phi}_x^2(\omega)\} = \Phi_x^2(\omega) \left[2 + \left(\frac{\sin(N\omega)}{N \sin \omega} \right)^2 \right]$$

$\forall \omega \in \mathbb{R}$

$\omega = \mu \in \mathbb{R}$

$$\lim_{\omega \rightarrow 0} \frac{\sin \frac{N\omega}{2}}{N \sin \frac{\omega}{2}} = 1$$

15 Problema estimării spectrale

În concluzie

$$E\{\hat{\Phi}_x(\omega)\} = \frac{1}{2\pi} \int_{-\pi}^{+\pi} \Phi_x(\mu) \frac{\sin^2 \frac{N(\omega - \mu)}{2}}{N \sin^2 \frac{(\omega - \mu)}{2}} d\mu \quad \forall \omega \in \mathbb{R}$$

$$E\{\hat{\Phi}_x^2(\omega)\} = \Phi_x^2(\omega) \left[2 + \left(\frac{\sin(N\omega)}{N \sin \omega} \right)^2 \right] \quad \forall \omega \in \mathbb{R}$$

$$\sigma_{|X|^2}^2(\omega) = N^2 \sigma_{\hat{\Phi}_x}^2(\omega) = N^2 E\{\hat{\Phi}_x^2(\omega)\} - \left(N \cdot E\{\hat{\Phi}_x(\omega)\} \right)^2 =$$

$$= \Phi_x^2(\omega) \left[2N^2 + \frac{\sin^2(N\omega)}{\sin^2 \omega} \right] - \frac{1}{4\pi^2} \left(\int_{-\pi}^{+\pi} \Phi_x(\mu) \frac{\sin^2 \frac{N(\omega - \mu)}{2}}{\sin^2 \frac{(\omega - \mu)}{2}} d\mu \right)^2 \quad \forall \omega \in \mathbb{R}$$

Variabilitatea spectrului estimat

$$Q(\omega) \stackrel{\text{def}}{=} \frac{\left(E\{\hat{\Phi}_x(\omega)\} \right)^2}{\sigma_{\hat{\Phi}_x}^2(\omega)} \quad \forall \omega \in \mathbb{R}$$

(factor de calitate)

Regularitatea spectrului estimat folosind TCFD

Cum poate fi estimată regularitatea în practică?

Înlocuind TCFD cu TFD.

Exercițiu

- Reluați raționamentul anterior și deduceți expresia regularității spectrului estimat folosind **TFD**.

Densitatea spectrală de putere estimată folosind TFD

$$\hat{\Phi}_x[k] \stackrel{\text{def}}{=} \mathcal{R}_N[k] \sum_{n=1-N}^{N-1} \hat{r}_x[n] w_N^{nk} \quad \forall k \in \mathbb{Z}$$

Rezoluția spectrului este limitată de ordinul TFD.

$$\hat{\Phi}_x[k] = \frac{1}{N} |X[k]|^2 \quad \forall k \in \mathbb{Z}$$

$$\sigma_{|X|^2}^2 \equiv N^2 \sigma_{\hat{\Phi}_x}^2$$

Exercițiu

①⑥ Metode neparametrice de estimare spectrală

- Metodele din această categorie conduc la factori de calitate superiori celui din cazul utilizării TFD, pe baza operației de mediere.

Metodele care
sunt descrise

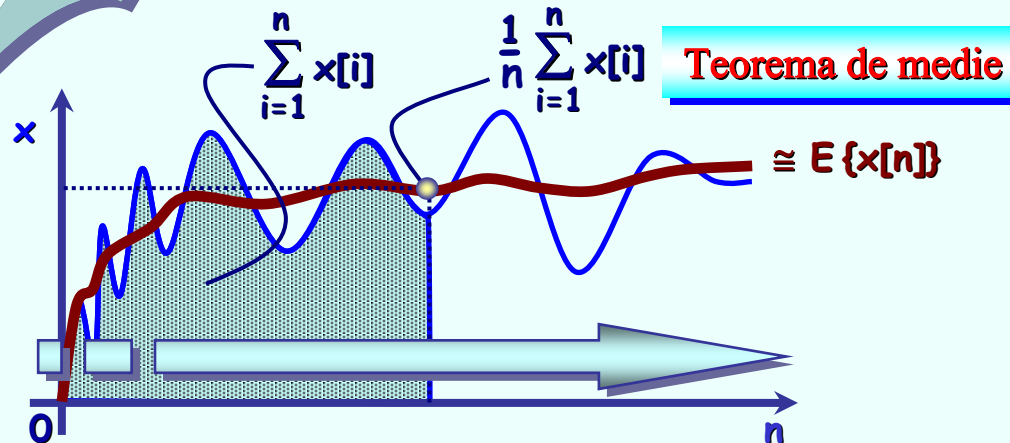
- Medierea periodogramelor: **Metoda lui Bartlett** (1948)
- Medierea îmbunătățită a periodogramelor: **Metoda lui Welch** (1967)
- Netezirea periodogramelor: **Metoda lui Blackman & Tukey** (1958)

Metoda lui Bartlett

Ideea lui
Bartlett

(1948)

Media temporală constituie un instrument de atenuare a variațiilor unei entități dinamice.



Spectrul poate fi estimat prin medierea periodogramelor obținute după decuparea semnalului în segmente succesive disjuncte.



Prețul plătit: scăderea rezoluției spectrale.

①⑥ Metode neparametrice de estimare spectrală



Metoda lui Bartlett (continuare)

Algoritm

① Se exprimă durata semnalului sub formă compozită cu 2 factori.

$$N = P \cdot Q$$

factorul de netezire
(numărul de periodograme mediate)

rezoluția periodogramei

② Se segmentează semnalul original cu ajutorul unei colecții de ferestre dreptunghiulare cu suporturi succesive, disjuncte, de dimensiune Q .

indice de segment p					
	x_0	x_1	x_p		x_{p-1}
indice temporal q	$x[0]$	$x[Q]$	$x[pQ]$	$x[(P-1)Q]$	
	$x[1]$	$x[Q+1]$	$x[pQ+1]$	$x[(P-1)Q+1]$	
	
	$x[q]$	$x[Q+q]$	$x[pQ+q]$	$x[(P-1)Q+q]$	
	
	$x[Q-1]$	$x[2Q-1]$	$x[(p+1)Q-1]$	$x[PQ-1]$	

Matricea este completată pe coloane.

Segment de semnal temporal.

$$x_p \stackrel{\text{def}}{=} x \cdot (q^{-pQ} \mathcal{R}_Q) \iff x_p[q] = x[pQ + q] \begin{matrix} \forall q \in \overline{0, Q-1} \\ \forall p \in \overline{0, P-1} \end{matrix}$$

①⑥ Metode neparametrice de estimare spectrală



Metoda lui Bartlett (continuare)

③ Se estimează periodogramele segmentelor de semnal cu ajutorul **TCFD** sau **TFD_Q**.

$$\hat{\Phi}_{x_p}(\omega) \stackrel{\text{def}}{=} \mathcal{F}(\hat{r}_{x_p})(e^{j\omega}) = \sum_{k=1-Q}^{Q-1} \hat{r}_{x_p}[k] e^{-j\omega k}$$

TCFD

$$\forall \omega \in \mathbb{R}$$

$$\forall p \in \overline{0, P-1}$$

$$\hat{\Phi}_{x_p}[k] \stackrel{\text{def}}{=} TFD_Q(\hat{r}_{x_p})[k] = \sum_{q=1-Q}^{Q-1} \hat{r}_{x_p}[q] w_Q^{qk}$$

TFD_Q

$$\forall k \in \overline{0, Q-1}$$

$$\forall p \in \overline{0, P-1}$$

④ Se estimează periodograma semnalului prin medierea periodogramelor segmentelor.

$$\hat{\Phi}_{\Delta, x}^{P, Q} \stackrel{\text{def}}{=} \frac{1}{P} \sum_{p=0}^{P-1} \hat{\Phi}_{x_p}$$

Performanțele metodei

→ Rezoluția în frecvență în cazul utilizării **TCFD**: de **P** ori **mai mică** decât a periodogramei estimate direct.

→ Rezoluția în frecvență în cazul utilizării **TFD**: **Q** (de **P** ori **mai mică** decât a periodogramei estimate direct).

→ Regularitatea spectrului estimat: de **P** ori **mai mare** decât a periodogramei estimate direct.

• Aceste performanțe sunt probate pentru **TCFD** prin raționamentul care urmează.

• Raționamentul se bazează pe o ipoteză naturală: **segmentele succesive de semnal constituie realizări ale semnalului original, x.**

$$\begin{aligned} r_{x_p}[k] &= E\{x_p[q]x_p[q-k]\} = E\{x[pQ+q]x[pQ+q-k]\} = \\ &= E\{x[n]x[n-k]\} = r_x[k] \end{aligned}$$

$$\forall k \in \mathbb{Z}$$

$$\forall p \in \overline{0, P-1}$$

16 Metode neparametrice de estimare spectrală



Metoda lui Bartlett (continuare)

Performanțele metodei (continuare)

- Se evaluează **media** periodogramei estimate (**TCFD**).

$$E\{\hat{\Phi}_{\Delta,x}^{P,Q}(\omega)\} = E\left\{\frac{1}{P} \sum_{p=0}^{P-1} \hat{\Phi}_{x_p}(\omega)\right\} = \frac{1}{P} \sum_{p=0}^{P-1} E\{\hat{\Phi}_{x_p}(\omega)\}$$

$\forall \omega \in \mathbb{R}$

$$E\{\hat{\Phi}_{\Delta,x}^{P,Q}(\omega)\} = E\{\hat{\Phi}_{x_p}(\omega)\} = \frac{1}{2\pi} \int_{-\pi}^{+\pi} \Phi_x(\mu) \mathcal{W}_{\Delta,Q}(e^{j(\omega-\mu)}) d\mu$$

$\forall \omega \in \mathbb{R}$

$\forall p \in \overline{0, P-1}$

$$E\{\hat{\Phi}_x(\omega)\} = \frac{1}{2\pi} \int_{-\pi}^{+\pi} R_x(e^{j\mu}) \mathcal{W}_{\Delta,N}(e^{j(\omega-\mu)}) d\mu$$

$\forall \omega \in \mathbb{R}$

Fereastra triunghiulară are deschidere de P ori mai mică, astfel că TF a sa are „deschidere” de P ori mai mare.

Rezoluția în frecvență este de P ori mai mică, conform Principiului de incertitudine.

- Pentru a evalua varianța periodogramei, se poate observa că segmentele succesive de semnal sunt **independente statistic**.

$$r_{x_p}[k] = r_x[k] \quad \begin{matrix} \forall k \in \mathbb{Z} \\ \forall p \in \overline{0, P-1} \end{matrix}$$

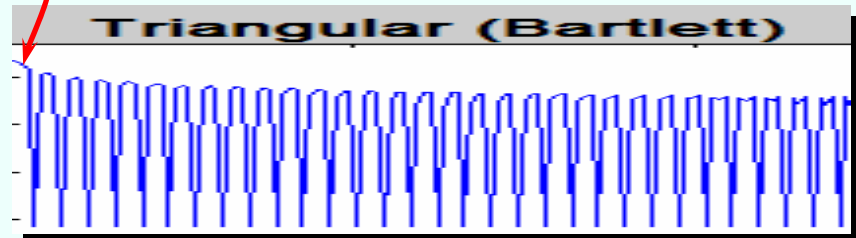
$$E\{\hat{r}_{x_p}[k]\} = \frac{Q-|k|}{Q} r_x[k] \quad \begin{matrix} \forall k \in \overline{1-Q, Q-1} \\ \forall p \in \overline{0, P-1} \end{matrix}$$

$$E\{\hat{\Phi}_{x_p}(\omega)\} = \frac{1}{2\pi} \int_{-\pi}^{+\pi} \Phi_x(\mu) \frac{\sin^2 \frac{Q(\omega-\mu)}{2}}{Q \sin^2 \frac{(\omega-\mu)}{2}} d\mu \quad \forall \omega \in \mathbb{R}$$

$\forall p \in \overline{0, P-1}$

$$\mathcal{W}_{\Delta,Q}(e^{j(\omega-\mu)})$$

deschiderea lobului principal



16 Metode neparametrice de estimare spectrală



Metoda lui Bartlett (continuare)

Performanțele metodei (continuare)

- Se evaluează **varianța** periodogramei estimate (TCFD).



Independență statistică

$$E\{v_1 v_2\} = E\{v_1\}E\{v_2\}$$

Exercițiu

- Deduceți expresia regularității periodogramei Bartlett folosind **TFD**.

$$\begin{aligned} \sigma_{\hat{\Phi}_{\Delta,x}^{P,Q}}^2(\omega) &\stackrel{\text{def}}{=} E\left\{\left(\hat{\Phi}_{\Delta,x}^{P,Q}(\omega) - E\left\{\hat{\Phi}_{\Delta,x}^{P,Q}(\omega)\right\}\right)^2\right\} = E\left\{\frac{1}{P^2}\left(\sum_{p=0}^{P-1} \hat{\Phi}_{x_p}(\omega) - P \cdot E\left\{\hat{\Phi}_{x_0}(\omega)\right\}\right)^2\right\} \quad \leftarrow \text{se expandează binomul} \\ &= \frac{1}{P^2} E\left\{\sum_{p=0}^{P-1} \hat{\Phi}_{x_p}^2(\omega) + P^2 \left(E\left\{\hat{\Phi}_{x_0}(\omega)\right\}\right)^2 - 2PE\left\{\hat{\Phi}_{x_0}(\omega)\right\} \sum_{p=0}^{P-1} \hat{\Phi}_{x_p}(\omega) + 2 \sum_{p=0}^{P-1} \sum_{q=p+1}^{P-1} \hat{\Phi}_{x_p}(\omega) \hat{\Phi}_{x_q}(\omega)\right\} = \\ &= \frac{1}{P^2} \left[\sum_{p=0}^{P-1} E\left\{\hat{\Phi}_{x_p}^2(\omega)\right\} - P^2 \left(E\left\{\hat{\Phi}_{x_p}(\omega)\right\}\right)^2 + P(P-1) \left(E\left\{\hat{\Phi}_{x_p}(\omega)\right\}\right)^2 \right] = \\ &= \frac{1}{P^2} \left[\sum_{p=0}^{P-1} E\left\{\hat{\Phi}_{x_p}^2(\omega)\right\} - P \left(E\left\{\hat{\Phi}_{x_p}(\omega)\right\}\right)^2 \right] = \frac{1}{P^2} \sum_{p=0}^{P-1} \left[E\left\{\hat{\Phi}_{x_p}^2(\omega)\right\} - \left(E\left\{\hat{\Phi}_{x_p}(\omega)\right\}\right)^2 \right] = \frac{1}{P^2} \sum_{p=0}^{P-1} \sigma_{\hat{\Phi}_{x_p}}^2(\omega), \quad \forall \omega \in \mathbb{R}. \end{aligned}$$

De P ori mai mică.

$$\sigma_{\hat{\Phi}_{\Delta,x}^{P,Q}}^2(\omega) = \frac{1}{P^2} \sum_{p=0}^{P-1} \sigma_{\hat{\Phi}_{x_p}}^2(\omega) = \frac{1}{P} \Phi_x^2(\omega) \left[2 + \frac{\sin^2(Q\omega)}{Q^2 \sin^2 \omega} \right] - \frac{1}{4P\pi^2} \left(\int_{-\pi}^{+\pi} \Phi_x(\mu) \frac{\sin^2 \frac{Q(\omega-\mu)}{2}}{Q \sin^2 \frac{(\omega-\mu)}{2}} d\mu \right)^2 \quad \forall \omega \in \mathbb{R}$$

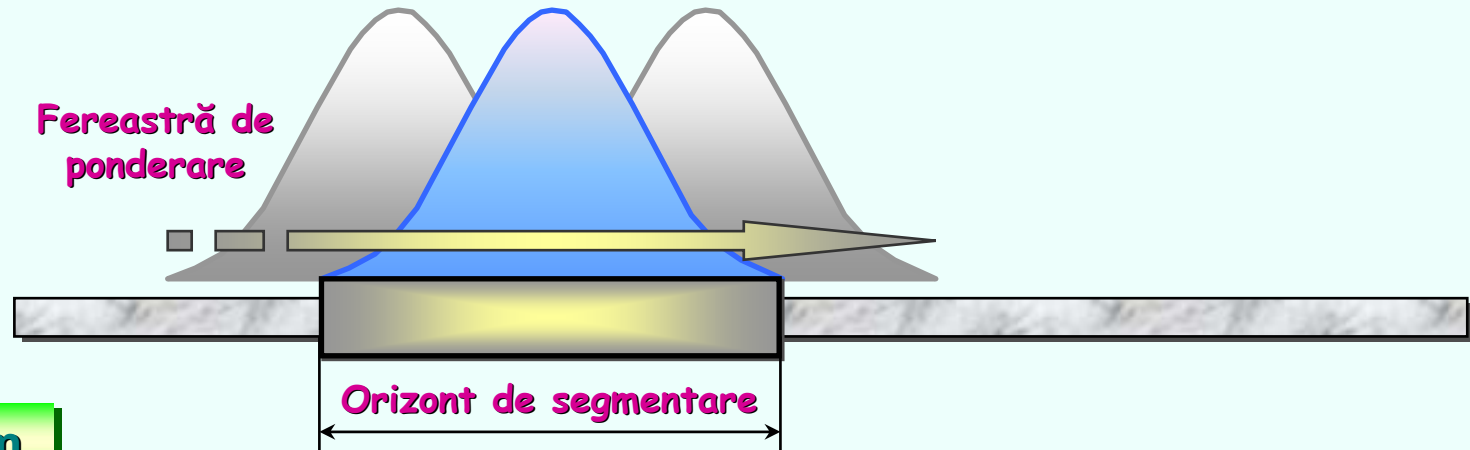
①⑥ Metode neparametrice de estimare spectrală



Metoda lui Welch

Ideea lui
Welch
(1967)

Metoda lui Bartlett poate fi modificată sub două aspecte:
a. segmentele de semnal se pot suprapune;
b. segmentele de semnal pot fi extrase folosind ferestre diferite de cea dreptunghiulară.



Algoritm

① Se stabilește durata de suprapunere dintre segmentele succesive.

K

② Se stabilește rezoluția în frecvență a periodogramei estimate.

$Q > K$

• În mod uzual, diferența $Q-K$ este un divizor al duratei semnalului, N .

③ Se alege tipul de fereastră culisantă.

w

• Durata ferestrei este egală cu rezoluția în frecvență.

④ Se evaluează dispersia ferestrei, ca factor de normalizare.

$$v_w^2 \stackrel{\text{def}}{=} \frac{1}{Q} \sum_{q=0}^{Q-1} w^2[q]$$

①⑥ Metode neparametrice de estimare spectrală



Metoda lui Welch (continuare)

⑤ Se segmentează semnalul original.

$$N = P(Q - K)$$

$$\begin{array}{c} \text{def} \\ x_p \equiv x \cdot \left(q^{-p(Q-K)} \mathcal{R}_Q \right) \\ \forall p \in \overline{0, P-1} \end{array} \longleftrightarrow \begin{array}{c} \text{def} \\ x_p[q] = x[p(Q-K) + q] \\ \forall q \in \overline{0, Q-1} \\ \forall p \in \overline{0, P-1} \end{array}$$

⑥ Se estimează periodogramele segmentelor de semnal ponderate de fereastră aleasă, cu ajutorul **TCFD** sau **TFD_Q**.

$$\hat{\Phi}_{w x_p}(\omega) \stackrel{\text{def}}{=} \frac{1}{Q v_w^2} \left| \sum_{q=0}^{Q-1} x_p[q] w[q] e^{-j\omega q} \right|^2$$

TCFD $\forall \omega \in \mathbb{R}$ $\forall p \in \overline{0, P-1}$

$$\hat{\Phi}_{w x_p}[k] \stackrel{\text{def}}{=} \frac{1}{Q v_w^2} \left| \sum_{q=0}^{Q-1} x_p[q] w[q] w_Q^{qk} \right|^2$$

TFD_Q $\forall k \in \overline{0, Q-1}$ $\forall p \in \overline{0, P-1}$

⑦ Se estimează periodograma semnalului prin medierea periodogramelor segmentelor.

$$\hat{\Phi}_{w, x}^{P, Q, K} \stackrel{\text{def}}{=} \frac{1}{P} \sum_{p=0}^{P-1} \hat{\Phi}_{w x_p}$$

• Prin durata de suprapunere compromisul rezoluție-regularitate poate fi mai bine controlat.

➔ Rezoluția în frecvență poate fi selectată la valoarea dorită, urmînd ca durata suprapunerii dintre segmente să fie utilizată pentru a obține un grad maximal de regularitate.

👉 Durata optimală de suprapunere variază în funcție de fereastră aleasă și de semnalul analizat.

↗ ≤ 50% suprapunere

Totuși $K \leq Q/2$

①⑥ Metode neparametrice de estimare spectrală



Metoda lui Welch (continuare)


Performanțele metodei

- Se evaluează **media** periodogramei estimate (**TCFD**).

$$E\{\hat{\Phi}_{w,x}^{P,Q,K}(\omega)\} = E\left\{\frac{1}{P} \sum_{p=0}^{P-1} \hat{\Phi}_{wx_p}(\omega)\right\} = \frac{1}{P} \sum_{p=0}^{P-1} E\{\hat{\Phi}_{wx_p}(\omega)\}$$

$\forall \omega \in \mathbb{R}$





$$\hat{\Phi}_{wx_p}(\omega) \stackrel{\text{def}}{=} \frac{1}{Qv_w^2} \left| \sum_{q=0}^{Q-1} x_p[q]w[q]e^{-j\omega q} \right|^2$$

$\forall \omega \in \mathbb{R}$
 $\forall p \in \overline{0, P-1}$

$$E\{\hat{\Phi}_{wx_p}(\omega)\} = \frac{1}{Qv_w^2} \sum_{n=0}^{Q-1} \sum_{m=0}^{Q-1} E\{x_p[n]x_p[m]\}w[n]w[m]e^{-j\omega(n-m)}$$

$\forall \omega \in \mathbb{R}$
 $\forall p \in \overline{0, P-1}$

$$E\{x[p(Q-K)+n]x[p(Q-K)+m]\} = r_x[n-m]$$

$$r_x[k] = \frac{1}{2\pi} \int_{-\pi}^{+\pi} \Phi_x(\omega) e^{+j\omega k} d\omega$$

$\forall k \in \mathbb{Z}$

$$E\{\hat{\Phi}_{wx_p}(\omega)\} = \frac{1}{Qv_w^2} \int_{-\pi}^{+\pi} \Phi_x(\mu) \left[\sum_{n=0}^{Q-1} \sum_{m=0}^{Q-1} w[n]w[m]e^{-j(\omega-\mu)(n-m)} \right] d\mu$$

$\forall \omega \in \mathbb{R}$
 $\forall p \in \overline{0, P-1}$

$$\left| \mathcal{W}(e^{j(\omega-\mu)}) \right|^2 \stackrel{\text{def}}{=} \left| \mathcal{F}(w)(e^{j(\omega-\mu)}) \right|^2$$

$$\int_{-\pi}^{+\pi} \left| \mathcal{W}(e^{j\omega}) \right|^2 d\omega = Qv_w^2$$

Exercițiu

$$E\{\hat{\Phi}_{w,x}^{P,Q,K}(\omega)\} = E\{\hat{\Phi}_{wx_p}(\omega)\} = \frac{1}{Qv_w^2} \int_{-\pi}^{+\pi} \Phi_x(\mu) \left| \mathcal{W}(e^{j(\omega-\mu)}) \right|^2 d\mu$$

$\forall \omega \in \mathbb{R}$ $\forall p \in \overline{0, P-1}$

➡ **Aceeași pentru fiecare segment ponderat.**

①⑥ Metode neparametrice de estimare spectrală



Metoda lui Welch (continuare)

Performanțele metodei (continuare)

Exercițiu

- Deduceți expresia mediei periodogramei Welch folosind **TFD**.
- De regulă, fereastra utilizată și în cazul acestei metode este **tot cea a lui Bartlett**.
- În acest caz, **Welch** a demonstrat că varianța periodogramei sale poate fi aproximată prin:

$$\sigma_{\hat{\Phi}_{w,x}^{P,Q,K}}^2(\omega) \cong \frac{9}{8P} \Phi_x^2(\omega) \quad \forall \omega \in \mathbb{R}$$



Pentru **50%** suprapunere între segmente succesive.

👉 Densitatea spectrală estimată prin **Metoda lui Welch** cu fereastra lui Bartlett și 50% suprapunere este de **aproximativ 2 ori mai netedă** decât cea estimată prin **Metoda lui Bartlett**.

- Alte tipuri de ferestre pot fi de asemenea utilizate, în vederea îmbunătățirii factorului de calitate.

În mediul de programare



Funcția **psd** implementează **Metoda lui Welch**